



# Étude du pendule simple

L'objectif de ce TP est, à travers l'étude du pendule simple, de revoir plusieurs compétences expérimentales acquises depuis le début de l'année :

- mesure d'un paramètre physique avec son incertitude de type B, compatibilité de deux mesures ;
- résolution numérique d'une équation différentielle ;
- étude du spectre d'un signal périodique.

## I - Mesure du champ de pesanteur

### I.1 - Théorie

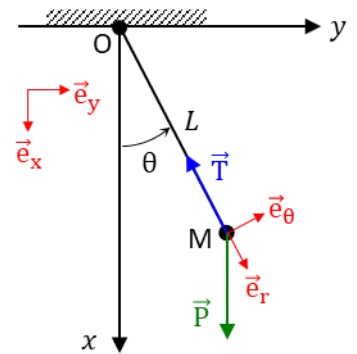
On considère le pendule simple ci-contre : une masse  $m$  supposée ponctuelle est attachée à l'extrémité d'un fil de longueur  $L$  et de masse négligeable. On note  $\mathcal{R} = (O, \vec{e}_x, \vec{e}_y)$  le référentiel terrestre supposé galiléen et  $\mathcal{B} = (O, \vec{e}_r, \vec{e}_\theta)$  la base polaire dans laquelle seront projetés les différents vecteurs.

Le PFD appliqué à la masse  $m$  dans  $\mathcal{R}$  et projeté sur  $\vec{e}_\theta$  donne :

$$mL\ddot{\theta} = -mg \sin(\theta) \Rightarrow \boxed{\ddot{\theta} + \omega_0^2 \sin(\theta) = 0} \quad \text{avec : } \omega_0 = \sqrt{\frac{g}{L}}$$

Aux **petits angles** ( $\theta \ll 1$  rad), on obtient l'ED d'un oscillateur harmonique :

$$\boxed{\ddot{\theta} + \omega_0^2 \theta(t) = 0}$$



### I.2 - Mesure de l'accélération de pesanteur

L'accélération de pesanteur  $g$  est reliée à la période propre  $T_0$  du pendule par la relation :  $\boxed{g = 4\pi^2 \frac{L}{T_0^2}}$ . Nous allons dans cette partie chercher à déterminer la valeur de  $g$ , avec son incertitude (type B).

🏠 Montrer que l'incertitude-type vaut :

$$u(g) = g \sqrt{\left(\frac{u(L)}{L}\right)^2 + 2\left(\frac{u(T_0)}{T_0}\right)^2}$$

- 📏 Mesurer  $L$  à la règle. Estimer  $\Delta(L)$  et en déduire  $u(L) = \Delta(L)/\sqrt{3}$ .
- 📏 Mesurer 20 périodes (approximativement) à l'aide d'un chronomètre. Estimer  $\Delta(20T_0)$ . En déduire que  $\Delta(T_0) = \Delta(20T_0)/20$  (c'est l'intérêt de mesurer un grand nombre de périodes) puis  $u(T_0)$ .
- 📏 Calculer  $g$  et  $u(g)$ . Donner le résultat avec le bon nombre de chiffres significatifs !
- 📏 Calculer l'écart normalisé entre votre valeur et celle d'un autre binôme. Les mesures sont-elles compatibles ?

## II - Analyse vidéo des oscillations

### II.1 - Enregistrement vidéo

- 📏 Ouvrir le script « dynamic\_color\_tracking.py » (dossier commun MPSI) et faire les réglages pour suivre le mouvement de la masse.
- 🏠 Exprimer  $\theta(t)$  en fonction de  $x(t)$  et  $y(t)$ .
- 📏 Ouvrir le script « traitement\_data.py ». Compléter le code afin de visualiser le graphique  $\theta(t)$ .

## II.2 - Dérivée numérique

Nous allons dans cette partie dériver numériquement les données afin d'obtenir la vitesse angulaire  $\omega(t) = d\theta/dt$ .

$$\omega(t) = \frac{d\theta}{dt} = \frac{\theta(t + dt) - \theta(t)}{(t + dt) - (t)}$$

En discrétisant cette expression, on obtient :

$$\omega[i] = \frac{\theta[i + 1] - \theta[i]}{t[i + 1] - t[i]}$$

Cette relation permet de calculer numériquement la dérivée  $\omega[i]$ , connaissant  $\theta[i]$ ,  $\theta[i + 1]$ ,  $t[i]$  et  $t[i + 1]$ . On appelle  $N$  l'indice du dernier élément de  $\theta$  et  $t$ . Attention, cette méthode ne permet pas de calculer  $\omega[N]$  puisque  $\theta[N + 1]$  et  $t[N + 1]$  ne sont, par définition de  $N$ , pas définis. L'indice du dernier élément de  $\omega$  est donc  $N - 1$ .

**Conclusion** : la taille de l'array  $\omega$  est réduite de 1 par rapport à la taille de  $\theta$ .

🔗 Écrire une fonction « deriv(t, s) », qui prend en argument deux arrays (temps « t » et signal « s ») et qui renvoie deux arrays (temps « t2 » et dérivée « s2 ») de même dimension.

🔗 Visualiser graphiquement  $\omega(t)$ . Expliquer pourquoi  $\omega(t)$  est « bruité ».

## II.3 - Filtrage du bruit

Dans cette partie, nous allons apprendre à filtrer un signal numérique, afin de réduire le bruit introduit lors des calculs.

🔗 Ne pas faire cette partie dans l'immédiat. Y revenir en fin de TP s'il vous reste du temps.

Afin de réduire le bruit, nous allons créer un **filtre numérique moyenneur**. Ce filtre remplace chaque valeur d'un array par la moyenne des valeurs des indices voisins.

Soit A un array. En sortie de filtre, on obtient ainsi :

$$A[i] = \frac{1}{3}(A[i - 1] + A[i] + A[i + 1])$$

⚠ Lors de la réalisation du filtre, faire attention aux effets de bords, pour les indices  $i = 0$  et  $i = N$  (avec  $N$  l'indice du dernier élément de A).

🔗 Compléter le code afin de filtrer  $\omega$ ,  $\varepsilon_c$  et/ou  $\varepsilon_m$ . Constater graphiquement les améliorations.

## III - Pendule simple aux grands angles

### III.1 - Résolution de l'équation différentielle

🔗 Ouvrir le fichier Python « ResolutionED.py ».

🔗 Résoudre l'ED complète :  $\ddot{\theta} + \omega_0^2 \sin(\theta) = 0$  à l'aide de la fonction « odeint ». Prendre pour conditions initiales  $\theta(0) = \theta_0$  (au choix) et  $\omega(0) = 0$ . Tracer la courbe sur un temps  $t_{max} = 10 T_0$ .

🔗 Superposer la solution obtenue avec la solution issue de l'approximation harmonique :  $\theta(t) = \theta_0 \cos(\omega_0 t)$ .

🔗 Constater les différences aux grands angles (augmenter progressivement  $\theta_0$  et aller jusqu'à  $\theta_0 = 179^\circ$ ).

### III.2 - Apparition de nouvelles fréquences

🔗 Reprendre la résolution précédente en choisissant un temps  $t_{max} = 1000 T_0$ .

Une fonction nommée « SpectreFourier » a été écrite dans le script Python. Elle prend en argument un array des temps  $t$  et une fonction  $y(t)$ . Elle renvoie un array des fréquences  $freq$  et le spectre en amplitude  $spectre$  du signal.

```
1 freq, spectre = SpectreFourier(t, theta)
```

🔗 Tracer le spectre en amplitude de la solution de l'ED. Montrer qu'aux grands angles, la fréquence fondamentale  $f_1$  est inférieure à la fréquence propre  $f_0$  du système. Montrer que des harmoniques  $f_n = n \cdot f_1$  apparaissent. Quels sont les rangs  $n$  de ces harmoniques ?